

Робастные варианты метода SSA

Сенов Михаил Андреевич

Санкт-Петербургский государственный университет

Уровень образования: бакалавриат

Направление 01.03.02 «Прикладная математика и информатика»

Основная образовательная программа СВ.5004.2018

«Прикладная математика и информатика»

Профессиональная траектория «Вычислительная стохастика и
статистические модели»

Научный руководитель: к.ф.-м.н., доц. Голяндина Н.Э.

Рецензент: к.ф.-м.н. Пепелышев А.Н.

Санкт-Петербург, 2022

$X = (x_1, \dots, x_N)$ временной ряд длины N .

Модель: $X = S + R$, S сигнал, R возмущение (шум или выброс).

Задача: Оценить сигнал $\tilde{S} = F(X)$, F — используемый метод.

Метод: SSA (Singular Spectrum Analysis) для вещественных рядов, CSSA (Complex Singular Spectrum Analysis) — обобщение для комплексных рядов.

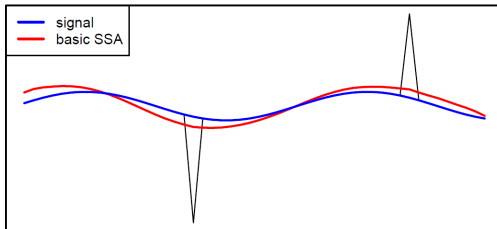
Golyandina, Nekrutkin, Zhigljavsky (2001). Analysis of time series structure: SSA and related techniques.

Вопросы:

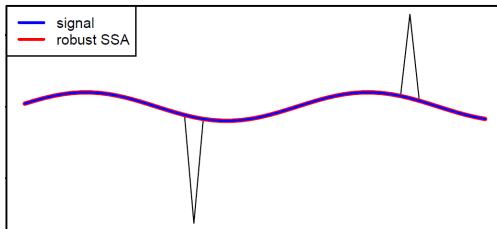
- 1 Устойчивые к выбросам (робастные) модификации CSSA?
Робастные модификации SSA (вещ. случай) были предложены ранее (Третьякова, 2020).
- 2 Что лучше, с точки зрения величины ошибки $\tilde{S} - S$, $\text{SSA}(X_{\text{Re}}) + i\text{SSA}(X_{\text{Im}})$ или $\text{CSSA}(X_{\text{Re}} + iX_{\text{Im}})$?

Часть I. Robust CSSA: Введение

Базовый SSA: реагирует на выбросы.



Робастный SSA: не реагирует на выбросы.



Рассмотрим временной ряд $\mathbf{X} = (x_1, \dots, x_N) = \mathbf{S} + \mathbf{R}$, L длина окна, $K = N - L + 1$.

Оператор вложения $\mathcal{T}_L : \mathbb{R}^N \rightarrow \mathcal{M}_{\mathcal{H}} : \mathcal{T}_L(\mathbf{X}) = \mathbf{X}$,

$$\mathbf{X} = \begin{pmatrix} x_1 & x_2 & \dots & x_K \\ x_2 & x_3 & \dots & x_{K+1} \\ \vdots & \vdots & & \vdots \\ x_L & x_{L+1} & \dots & x_N \end{pmatrix}, K = N - L + 1,$$

\mathbf{X} — L -траекторная матрица \mathbf{X} .

Ранг сигнала $\text{rk } \mathcal{T}_L(\mathbf{S}) = r$.

\mathcal{M}_r — пространство матриц размера $L \times K$ ранга не больше r .

$\mathcal{M}_{\mathcal{H}}$ — пространство ганкелевых матриц $L \times K$.

$\mathcal{T}_L(\mathbf{S}) \in \mathcal{M}_{\mathcal{H}} \cap \mathcal{M}_r$.

$\Pi_r : \mathcal{M} \rightarrow \mathcal{M}_r$, $\Pi_{\mathcal{H}} : \mathcal{M} \rightarrow \mathcal{M}_{\mathcal{H}}$ — проекторы на \mathcal{M}_r и $\mathcal{M}_{\mathcal{H}}$ по некоторой норме.

Часть I: Выделение сигнала

Временной ряд $\mathbf{X} = (x_1, \dots, x_N) = \mathbf{S} + \mathbf{R}$, $\text{rk } \mathcal{T}_L(\mathbf{S}) = r$.

Алгоритм для выделения сигнала

$$\tilde{\mathbf{S}} = \mathcal{T}_L^{-1} \Pi_{\mathcal{H}} \Pi_r \mathcal{T}_L(\mathbf{X}).$$

Нормы для Π_r и $\Pi_{\mathcal{H}}$:

- \mathbb{L}_2 (Фробениус): выделение сигнала базовым SSA

$$\|\mathbf{X}\|_F = \sqrt{\sum_{i=1} \sum_{j=1} |x_{ij}|^2}.$$

- \mathbb{L}_1 : робастная версия SSA

$$\|\mathbf{X}\|_1 = \sum_{i=1} \sum_{j=1} |x_{ij}|.$$

- weighted \mathbb{L}_2 : робастная версия SSA

$$\|\mathbf{W}^{1/2} \odot \mathbf{X}\|_F = \sqrt{\sum_{i=1} \sum_{j=1} w_{ij} |x_{ij}|^2},$$

где выбросам соответствуют маленькие веса.

Алгоритмы робастных версий CSSA были построены и реализованы на языке R.

Алгоритмы основаны на решении следующих задач.

Траекторная матрица $\mathbf{Y} \in \mathbb{C}^{L \times K}$ на вход. Разложение $\mathbf{M}\mathbf{V}^H$ на выходе, где $\mathbf{M} \in \mathbb{C}^{L \times r}$, $\mathbf{V} \in \mathbb{C}^{K \times r}$, $\mathbf{W} \in \mathbb{R}^{L \times K}$.

- \mathbb{L}_2 CSSA:

$$\|\mathbf{Y} - \mathbf{M}\mathbf{V}^H\|_F \longrightarrow \min_{\mathbf{M}, \mathbf{V}},$$

имеет решение в замкнутой форме.

- \mathbb{L}_1 CSSA:

$$\|\mathbf{Y} - \mathbf{M}\mathbf{V}^H\|_1 \longrightarrow \min_{\mathbf{M}, \mathbf{V}}.$$

решение вычисляется итеративно.

- weighted \mathbb{L}_2 CSSA:

$$\|\mathbf{W}^{1/2} \odot (\mathbf{Y} - \mathbf{M}\mathbf{V}^H)\|_F \longrightarrow \min_{\mathbf{M}, \mathbf{V}},$$

решение вычисляется итеративно, \mathbf{W} обновляется на каждой итерации согласно величине остатков разложения.

$X = (x_1, \dots, x_N)$ временной ряд длины N .

Модель: $X = S + R$, S сигнал, R возмущение (шум или выброс).

Задача: Оценить сигнал $\tilde{S} = F(X)$, F — используемый метод.

Метод: SSA (Singular Spectrum Analysis) для вещественных рядов, CSSA (Complex Singular Spectrum Analysis) — обобщение для комплексных рядов.

Golyandina, Nekrutkin, Zhigljavsky (2001). Analysis of time series structure: SSA and related techniques.

Вопрос: Что лучше, с точки зрения величины ошибки $\tilde{S} - S$, $\text{SSA}(X_{\text{Re}}) + i\text{SSA}(X_{\text{Im}})$ или $\text{CSSA}(X_{\text{Re}} + iX_{\text{Im}})$?

Рассматриваем теорию возмущений (Kato, 1966). Будем вычислять первый порядок ошибки (Nekrutkin, 2008), в предположении, что первый порядок достаточно точно описывает полную ошибку.

Структура Части 2:

- 1 Первый порядок ошибки для общего случая, теоретическое сравнение SSA и CSSA.
- 2 Пример: сигнал — гармоники, возмущение — шум. Особый случай комплексной экспоненты.
- 3 Пример: сигнал — константный сигнал, возмущение — выброс. Явный вид ошибки.
- 4 Численное сравнение первого порядка ошибки и полной ошибки.

Временной ряд $X = (x_1, \dots, x_N)$, L — длина окна, r — ранг оцениваемого сигнала (ранга траекторной матрицы сигнала).

Алгоритм SSA (CSSA) выделения сигнала

$$\tilde{S} = \mathcal{T}_L^{-1} \Pi_{\mathcal{H}} \Pi_r \mathcal{T}_L(X).$$

Модель: $X = S(\delta)$, где $S(\delta) = S + \delta R$ длины N
 $\mathbf{H} = \mathcal{T}_L(S)$.

$\tilde{S} = \mathcal{T}_L^{-1} \Pi_{\mathcal{H}} (\mathbf{H} + \delta \mathbf{H}^{(1)} + \delta^2 \mathbf{H}^{(2)})$ из (Nekrutkin, 2008).

$F = \tilde{S} - S = \mathcal{T}_L^{-1} \Pi_{\mathcal{H}} (\delta \mathbf{H}^{(1)} + \delta^2 \mathbf{H}^{(2)})$ ошибка восстановления.

Рассматриваем $\delta = 1$,

$F^{(1)} = \mathcal{T}_L^{-1} \Pi_{\mathcal{H}} (\mathbf{H}^{(1)})$ первый порядок ошибки восстановления.

Итак, рассматриваем $\delta = 1$, $\mathbf{X} = \mathbf{S}(1) = \mathbf{S} + \mathbf{R}$,
оценку сигнала $\tilde{\mathbf{S}} = \mathcal{T}_L^{-1} \Pi_{\mathcal{H}}(\mathbf{H} + \mathbf{H}^{(1)} + \mathbf{H}^{(2)})$.
Хотим найти $\mathbf{H}^{(1)}$, поскольку ошибка $\mathbf{F} \approx \mathbf{F}^{(1)} = \mathcal{T}_L^{-1} \Pi_{\mathcal{H}}(\mathbf{H}^{(1)})$.

Утверждение

Пусть \mathbf{R} достаточно мало. Тогда

$$\mathbf{H}^{(1)} = \mathbf{P}_0^\perp \mathbf{E} \mathbf{Q}_0 + \mathbf{P}_0 \mathbf{E},$$

где \mathbf{P}_0 — проектор на пространство столбцов \mathbf{H} ,
 \mathbf{Q}_0 — проектор на пространство строк \mathbf{H} ,
 $\mathbf{P}_0^\perp = \mathbf{I} - \mathbf{P}_0$, \mathbf{I} — единичная матрица,
 $\mathbf{E} = \mathcal{T}_L(\mathbf{R})$.

Получено на основе результатов из (Константинов, 2018) и (Некруткин, 2010).

Первые порядки ошибки восстановления:

- $\text{CSSA-F}^{(1)}$: сигнал S , возмущение R , метод CSSA,
- $\text{SSA-F}_{\text{Re}}^{(1)}$: сигнал $\text{Re}(S)$, возмущение $\text{Re}(R)$, метод SSA,
- $\text{SSA-F}_{\text{Im}}^{(1)}$: сигнал $\text{Im}(S)$, возмущение $\text{Im}(R)$, метод SSA.

Теорема

Пусть пространства столбцов траекторных матриц рядов S , $\text{Re}(S)$ и $\text{Im}(S)$ совпадают и то же самое верно для пространств строк. Тогда при любом достаточно малом возмущении R

$$\text{CSSA-F}^{(1)} = \text{SSA-F}_{\text{Re}}^{(1)} + i\text{SSA-F}_{\text{Im}}^{(1)}.$$

Получается из линейности вхождения \mathbf{E} в формулу

$$\mathbf{H}^{(1)} = \mathbf{P}_0^\perp \mathbf{E} \mathbf{Q}_0 + \mathbf{P}_0 \mathbf{E}.$$

Сигнал:

$$s_l = A \cos(2\pi\omega l + \phi_1) + iB \cos(2\pi\omega l + \phi_2),$$

где $0 < \omega \leq 0.5$ и $0 \leq \phi_i < 2\pi$.

Особый случай: При $|\phi_2 - \phi_1| = \pi/2$ и $A = B$, комплексная экспонента,

$$s_l = Ae^{\pm i(2\pi\omega l + \phi_1)}.$$

Возмущение: Случайный стационарный процесс с нулевым матожиданием и достаточно малой дисперсией.

Обозначения:

$$\text{CSSA-F}^{(1)} = (\text{CSSA-}f_1^{(1)}, \dots, \text{CSSA-}f_N^{(1)}),$$

$$\text{SSA-F}_{\text{Re}}^{(1)} = (\text{SSA-}f_{\text{Re},1}^{(1)}, \dots, \text{SSA-}f_{\text{Re},N}^{(1)}),$$

$$\text{SSA-F}_{\text{Im}}^{(1)} = (\text{SSA-}f_{\text{Im},1}^{(1)}, \dots, \text{SSA-}f_{\text{Im},N}^{(1)}).$$

Следствие

Для сигнала $s_l = A \cos(2\pi\omega l + \phi_1) + iB \cos(2\pi\omega l + \phi_2)$, не являющегося комплексной экспонентой, с достаточно малым возмущением R выполняется

$$\mathbb{D}(\text{CSSA-}f_l^{(1)}) = \mathbb{D}(\text{SSA-}f_{\text{Re},l}^{(1)}) + \mathbb{D}(\text{SSA-}f_{\text{Im},l}^{(1)}).$$

Показано, используя (Степанов, Голяндина, 2005).

Предположение

Для сигнала $s_l = Ae^{\pm i(2\pi\omega l + \phi_1)}$, с достаточно малым возмущением R выполняется

$$\mathbb{D}(\text{CSSA-}f_l^{(1)}) \stackrel{?}{=} \frac{1}{2} [\mathbb{D}(\text{SSA-}f_{\text{Re},l}^{(1)}) + \mathbb{D}(\text{SSA-}f_{\text{Im},l}^{(1)})].$$

Показано эмпирически.

Сигнал:

$$s_l = c_1 + i c_2.$$

Возмущение: $R = (0, \dots, a_1 + i a_2, \dots, 0)$ — достаточно малый выброс на позиции k .

Тракторные пространства сигнала совпадают, возмущение достаточно малое, справедлива теорема

$$\text{CSSA-F}^{(1)} = \text{SSA-F}_{\text{Re}}^{(1)} + i \text{SSA-F}_{\text{Im}}^{(1)}.$$

Достаточно уметь вычислять $\text{SSA-F}_{\text{Re}}^{(1)} = \mathcal{T}_L^{-1} \Pi_{\mathcal{H}}(\mathbf{H}_{\text{Re}}^{(1)})$.

Для $\mathbf{H}_{\text{Re}}^{(1)}$ известна формула (Nekrutkin, 2008)

$$\mathbf{H}_{\text{Re}}^{(1)} = -U^T \mathbf{E} V U V^T + U U^T \mathbf{E} + \mathbf{E} V V^T,$$

где $U = \{1/\sqrt{L}\}_{i=1}^L$, $V = \{1/\sqrt{K}\}_{i=1}^K$, $K = N - L + 1$.

Часть II: Пример, константный сигнал с выбросом, явный вид $\text{SSA-}f_{\text{Re},l}^{(1)}$

$$\text{SSA-}f_{\text{Re},l}^{(1)} = (\mathcal{T}_L^{-1} \Pi_{\mathcal{H}}(\mathbf{H}_{\text{Re}}^{(1)}))_l$$

Приведем результат для случая $k \leq \min(L/2, K - L)$ и $L < K$, где $K = N - L + 1$:

$$\text{SSA-}f_{\text{Re},l}^{(1)} = \frac{a}{LK} \begin{cases} (L + K - k), & 1 \leq l \leq k \\ \frac{1}{l}(L + K - l)k, & k < l \leq L \\ \frac{1}{L}K(L + k - l), & L < l < L + k \\ 0, & L + k \leq l \leq K \\ \frac{1}{N-l+1}(K - l)(L - k), & K < l < K + k \\ -k, & K + k \leq l \leq N \end{cases}.$$

Замечание: При фиксированном L первый порядок ошибки не стремится к 0 с ростом N .

Зашумлённые синусоиды: Численно было показано, первый порядок адекватно описывает полную ошибку.

Константный сигнал с выбросом: Численно было показано, первый порядок адекватно оценивает полную ошибку при $L = \alpha N$ для больших N . При фиксированном L это не так.

Пример с выбросом:

$$s_l = 1 + i,$$

R — выброс $10 + i10$ на позиции $k = L - 1$.

Таблица: Максимальное различие первого порядка и полной ошибок.

N	50	100	400	1600
$L = N/2$	0.1313	0.0419	0.0033	0.0002
$L = 20$	0.3074	0.1965	0.5655	0.6720

- **Реализации на R:** Робастные модификации были обобщены на комплексный случай.
- **Теория:** При совпадении траекторных пространств комплексного ряда первые порядки ошибок для CSSA и SSA совпадают.
- **Пример:**

- $s_l = A \cos(2\pi\omega l + \phi_1) + iB \cos(2\pi\omega l + \phi_2)$, сдвиг не $\pi/2$

$$\mathbb{D}(\text{CSSA-}f_l^{(1)}) = \mathbb{D}(\text{SSA-}f_{\text{Re},l}^{(1)}) + \mathbb{D}(\text{SSA-}f_{\text{Im},l}^{(1)}).$$

- $s_l = Ae^{\pm i(2\pi\omega l + \phi_1)}$

$$\mathbb{D}(\text{CSSA-}f_l^{(1)}) \stackrel{?}{=} \frac{1}{2}[\mathbb{D}(\text{SSA-}f_{\text{Re},l}^{(1)}) + \mathbb{D}(\text{SSA-}f_{\text{Im},l}^{(1)})].$$

- **Пример:** Для $s_l = c_1 + ic_2$ с выбросом была получена аналитическая формула первого порядка. При $L = \alpha N$ ошибка стремится к 0.
- **Численные эксперименты:** Рассмотрен вопрос приближения полной ошибки первым порядком.